

Multilayer Sandwich Plates の大たわみ解析

愛媛大学 正員 見沢繁光 正員 大賀水田生
徳山高等 正員 重松恒美 正員 原 隆

1. まえがき

サンドイッチ板は剛性の大きい *Stiff layer* の間に軽量の *core* をはさんだものである。このサンドイッチ板の解析は級数解、有限要素法、有限帯板法、伝達マトリックス法などにより数多くおこなわれているが、そのほとんどが微小変形理論に基づく線形解析である。サンドイッチ板の大たわみ問題に著者の知るかぎりでは A. M. Alwan¹⁾ の研究があるにすぎず、その研究も四辺単純支持の 3 layer サンドイッチ板に限られている。そこで、本研究では、Khatua, Cheung²⁾ が導いた Multilayer Sandwich Plates に対する剛性マトリックス法を大たわみ問題に拡張することにより、Multilayer Sandwich Plates の大たわみ解析をおこなった。そして、A. M. Alwan の解との比較および実験値との比較・検討をおこなった。なお、解析法としては荷重増分法を用いた。

2. Multilayer Sandwich Plates の剛性マトリックス

サンドイッチ板において *core* は *Stiff layer* に比較して非常に flexible であることを考慮して、本研究では *Stiff layer* の幾何剛性マトリックスのみを考慮し、*core* のものは無視した。したがって、本研究で用いた剛性マトリックスは通常の線形理論に対する剛性マトリックスに *Stiff layer* の幾何剛性マトリックスを加えたものになっている。図-1 に三角形サンドイッチ要素と仮定した節点変位を示している。節点変位としては、たわみ w 、たわみ角 $\theta_x = \frac{\partial w}{\partial x}$ 、 $\theta_y = -\frac{\partial w}{\partial y}$ および面内変位 u 、 v を仮定している。ところで、 u 、 v はそれぞれ *Stiff layer* で任意としているので、 n 枚の *Stiff layer* と $(n-1)$ 枚の *core* より成るサンドイッチ要素の節点の自由度数は $(3+2)n$ となる。なお、本研究では次のような変位関数を用いた。

$$\left. \begin{aligned} u &= a_1 + a_2 x + a_3 y \\ v &= a_4 + a_5 x + a_6 y \\ w &= b_1 + b_2 x + b_3 y + b_4 x^2 + b_5 xy + b_6 y^2 + b_7 x^3 + b_8 (xy + y^2) + b_9 y^3 \end{aligned} \right\} (1)$$

ところで、解析法として荷重増分法を用いているが、この場合、全ひずみ $\{\epsilon\}$ は次のように表わされる。

$$\{\epsilon\} = \{\epsilon_0\} + \{\delta\epsilon\} \quad (2)$$

ここに、 $\{\epsilon_0\}$: $(n-1)$ ステップまでに生じた全ひずみ

$\{\delta\epsilon\}$: n ステップで生じたひずみ増分

式(2)より、変位増分とひずみ増分の関係を求めるに *Stiff layer* では次のようになる。(図-2 参照)

$$\{\delta\epsilon\}_s = \begin{Bmatrix} \delta\epsilon_x \\ \delta\epsilon_y \\ \delta\epsilon_{xy} \end{Bmatrix} = \begin{Bmatrix} \frac{\partial u}{\partial x} \\ \frac{\partial v}{\partial y} \\ \frac{\partial u}{\partial y} + \frac{\partial v}{\partial x} \end{Bmatrix} = \begin{Bmatrix} \frac{\partial^2 w}{\partial x^2} \\ \frac{\partial^2 w}{\partial y^2} \\ 2\frac{\partial^2 w}{\partial x \partial y} \end{Bmatrix} + \begin{Bmatrix} \frac{1}{2} \left(\frac{\partial u}{\partial x} \right)^2 \\ \frac{1}{2} \left(\frac{\partial v}{\partial y} \right)^2 \\ \frac{\partial u}{\partial x} \frac{\partial v}{\partial y} \end{Bmatrix} \quad (3)$$

式(3)の右辺第三項が大たわみの場合に導入される項であり、線形解析では無視される。次に、*core* での変位増分とひずみ増分の関係は図-2を参考にして次式のように与えられる。

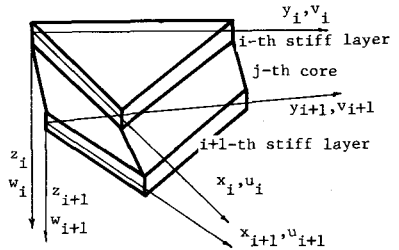


図-1 サンドイッチ板要素

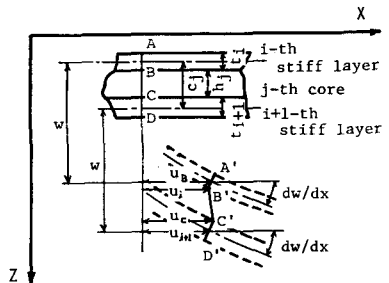


図-2 サンドイッチ板の変形

$$\{\Delta E\}_c = \begin{Bmatrix} \Delta E_{12} \\ \Delta E_{yz} \end{Bmatrix} = \begin{Bmatrix} \frac{C_j}{h_j} \left[\frac{u_i - u_{i+1}}{C_j} + \frac{\partial w}{\partial x} \right] \\ \frac{C_j}{h_j} \left[\frac{v_i - v_{i+1}}{C_j} + \frac{\partial v}{\partial y} \right] \end{Bmatrix} \quad (4)$$

式(3),(4)の変位・ひずみ関係式を用いることにより、第nステープでの Multilayer Sandwich 要素の剛性マトリックス $[k_e]_n$ が次のように求められる。

$$[k_e]_n = [k_{en}]_n + [k_{ep}]_n + [k_{ea}]_n + [k_{ec}]_n \quad (5)$$

ここに、 $[k_{en}]_n, [k_{ep}]_n, [k_{ea}]_n$: 第nステープでの Stiff layer の曲げ剛性、面内、幾何剛性マトリックス、 $[k_{ec}]_n$: core layer のせん断剛性マトリックス。

3. 解析手順

解析方法は前述したように荷重増分法を用いたが、それ以外の Stiff layer での面内変位 u, v が任意点で、同一要素内でも各 Stiff layer に対して回転マトリックスを求め、各層で $[k_{en}], [k_{ep}], [k_{ea}], [k_{ec}]$ をそれぞれの変位の回転をこなす。 (図-1参照)

4. 結果および考察

図-3 に要素の分割方法および要素数の変化による本法の解の変化を示している。すなわち、この場合ステープ数 $N=1$ つまり線形理論で荷重は等分布荷重である。分割タイプ(a)の16要素が Plantema による解とよく一致しているので、実験値との比較にはタイプ(a)の16要素を用いる。次に、ステープ数の変化による解の収束状態を求め、各回ごとに、実験値に対する数値計算をステープ数 $N=5, 10, 20, 30$ で行った。その結果を図4に示している。各ステープでの結果はほぼ一致しており、特に10, 20, 30ステープではほとんど差がない。図-4 に本法による解と A.M. Alwan による解の比較を示している。解析モデルは、等分布荷重を受ける四辺単純支持の π layer サンドイッチ板である。本法のステープ数は $N=40$ であり、A.M. Alwan の級数項は第5項までとっている。本法による解が少し大きめのずれを生じているが非線形の様子はよく一致している。

今回、サンドイッチ板を実験で作成し、曲げ試験をこなす。本法による解との比較・検討をこなす。試体は $40\text{cm} \times 40\text{cm}$ の正方形板とし、Stiff layer は厚さ 0.025cm の亜鉛引き鉄板、core には厚さ 0.5cm の π layer サンドイッチ板を使用した。実験は四辺単純支持で中央に集中荷重をかけた。図-5 に載荷点でのずれを示している。荷重が 300kg 付近まで理論値と実験値はよく一致している。しかし、荷重がそれより大きい範囲では実験値が塑性挙動を示し、理論値より大きくなる。

参考文献

- 1) A.M. Alwan; Bending of Sandwich Plates with Large Deflections, ASCE, Vol. 93 No. EM3, June 1967
- 2) T.P. Khohia, Y.K. Cheung; Triangular Element For Multilayer Sandwich, ASCE, Vol. 98 No. EM5, OCT. 1972

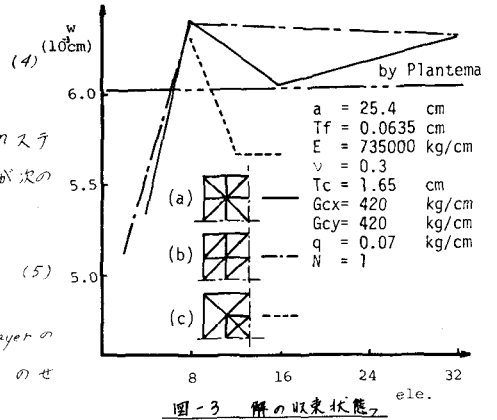


図-3 解の収束状態

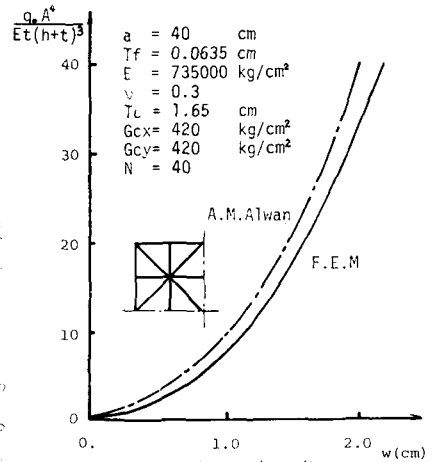


図-4 解の比較(級数解とFEM)

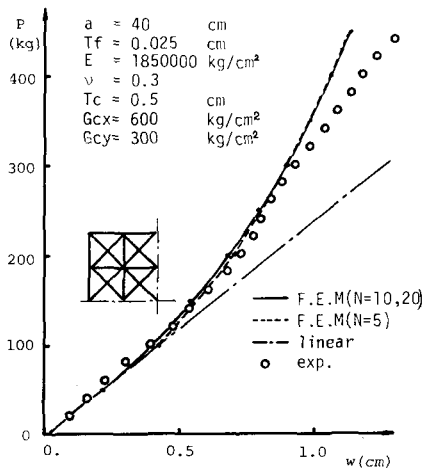


図-5 荷重-たわみ曲線